

ห้องสมุดงานวิจัย สำนักงานคณะกรรมการการอุดมศึกษา



249582



การศึกษาการเดฟฟูปองทั่วโลก/เป็นมาตรฐานที่สำคัญของหัวตัวเรียกษาในไทยทั่วโลก/  
ประเทศไทย

STUDY DEFORMATION OF HEAD STACK ASSEMBLY (HSA) DURING  
DE-SWAGE PROCESS

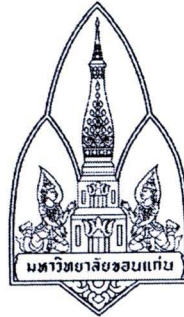
นายสุรชัย พูลสวัสดิ์

วิทยานิพนธ์ปริญญาโทด้านการแพทย์ศาสตร์  
มหาวิทยาลัยขอนแก่น

ค.ร. 2554

๖๐๐๒๕๓๙๙

ห้องสมุดงานวิจัย สำนักงานคณะกรรมการการอุดมศึกษา



การศึกษาการเดียรูปของหัวอ่าน/เขียนอาร์ดิสก์ระหว่างกระบวนการแก้ไขหัวอ่าน/  
เขียนคอมพิวเตอร์

**STUDY DEFORMATION OF HEAD STACK ASSEMBLY ( HSA ) DURING  
DE-SWAGE PROCESS**



นายสันติ บุญครี

วิทยานิพนธ์ปริญญาวิศวกรรมศาสตรมหาบัณฑิต  
มหาวิทยาลัยขอนแก่น

พ.ศ. ๒๕๕๔

การศึกษาการเสียรูปของหัวอ่าน/เขียนhaar์ดิสก์ระหว่างกระบวนการแก้ไขหัวอ่าน/  
เขียนคอมพิวเตอร์

นายสันติชัย บุญครี

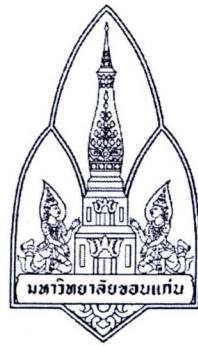
วิทยานิพนธ์นี้เป็นส่วนหนึ่งของการศึกษาตามหลักสูตรปริญญาวิศวกรรมศาสตรมหาบัณฑิต  
สาขาวิชาวิศวกรรมเครื่องกล  
บัณฑิตวิทยาลัย มหาวิทยาลัยขอนแก่น  
พ.ศ. 2554

**STUDY DEFORMATION OF HEAD STACK ASSEMBLY ( HSA ) DURING  
DE-SWAGE PROCESS**

**MR. SANTITI BOONSRI**

**A THESIS SUBMITTED IN PARTIAL FULFILLMENT OF THE REQUIREMENTS  
FOR THE DEGREE OF MASTER OF ENGINEERING  
IN MECHANICAL ENGINEERING  
GRADUATE SCHOOL KHON KAEN UNIVERSITY**

**2011**



ใบรับรองวิทยานิพนธ์  
มหาวิทยาลัยขอนแก่น  
หลักสูตร  
วิศวกรรมศาสตรมหาบัณฑิต  
สาขาวิศวกรรมเครื่องกล

ชื่อวิทยานิพนธ์ : การศึกษาการเสียรูปของหัวอ่าน/เขียนhaar์ดิสก์ระหว่างกระบวนการ  
แก้ไขหัวอ่าน/เขียนคอมพิวเตอร์

ชื่อผู้ทำวิทยานิพนธ์ : นายสันติ บุญศรี

คณะกรรมการสอนวิทยานิพนธ์

ผู้ช่วยศาสตราจารย์ ดร.ชวิติ ถินวงศ์พิทักษ์ ประธานกรรมการ  
รองศาสตราจารย์ ดร.สุจินต์ บุรีรัตน์ กรรมการ  
ผู้ช่วยศาสตราจารย์ ดร.เกียรติพิ่ง ตั้งใจจิต กรรมการ

อาจารย์ที่ปรึกษาวิทยานิพนธ์:

..... อาจารย์ที่ปรึกษา  
(ผู้ช่วยศาสตราจารย์ ดร. เกียรติพิ่ง ตั้งใจจิต)

..... อาจารย์ที่ปรึกษา  
(รองศาสตราจารย์ ดร. คำปาง แม่นมาตย์) (รองศาสตราจารย์ ดร. สมนึก ศิริกุลพิศุทธิ์)  
คณบดีบัณฑิตวิทยาลัย คณบดีคณะวิศวกรรมศาสตร์  
ลิขสิทธิ์ของมหาวิทยาลัยขอนแก่น

สัมมนา บุญศรี. 2554. การศึกษาการเสียรูปของหัวอ่าน/เขียน har'ดีสก์ระหง่านกระบวนการดีสวจ.

วิทยานิพนธ์ปริญญาวิศวกรรมศาสตรมหาบัณฑิต สาขาวิชาชีวกรรมเครื่องกล  
บัณฑิตวิทยาลัย มหาวิทยาลัยขอนแก่น.

อาจารย์ที่ปรึกษาวิทยานิพนธ์: พศ.ดร.เกียรติฟ้า ตั้งใจจิต

บทคัดย่อ

249582

ในการผลิต har'ดีสก์จะมีขั้นตอนการเชื่อมบีดติดแบบแอกทูเอเตอร์ (actuator arm) กับแขนชั้สเพนชั่น (suspension arm) ซึ่งมีหัวอ่าน/เขียน har'ดีสก์ (read/write head) ติดอยู่โดยกระบวนการดีสวจ (swaging process) เมื่อหัวอ่าน/เขียนที่มีข้อมูลพร่องในบางชิ้น สามารถแก้ไขปัญหาได้โดยการถอดแขนชั้สเพนชั่นที่มีหัวอ่าน/เขียนที่มีข้อมูลพร่องออกจากแขนแอกทูเอเตอร์ ซึ่งเรียกว่ากระบวนการดีสวจ (de-swaging process) แล้วนำแขนชั้สเพนชั่นที่มีหัวอ่าน/เขียนที่ดีเข้ามาใส่แทน ในระหว่างกระบวนการดีสวจแรงกดใบมีด (blade) ของอุปกรณ์ดีสวจ (de-swage tool) จะแยกหัวอ่าน/เขียน har'ดีสก์ที่มีข้อมูลพร่องออกมา ซึ่งขนาดแรงกดใบมีด และขนาดมุนใบมีดของอุปกรณ์ดีสวจ จะมีผลกระทบต่อการเสียรูปของแขนแอกทูเอเตอร์ ในการศึกษานี้จะศึกษาถึงการเสียรูปของแขนแอกทูเอเตอร์ในระหว่างกระบวนการดีสวจ ด้วยระเบียบวิธีไฟไนต์อิเม้นต์เพื่อวิเคราะห์การเสียรูปของแขนแอกทูเอเตอร์ โดยพิจารณาจากค่าแรงกรัมโหลดในระหว่างกระบวนการดีสวจ จากการศึกษาพบว่า ขนาดแรงกดใบมีด และขนาดมุนใบมีดของอุปกรณ์ดีสวจ ที่ทำให้ค่าแรงกรัมโหลดมีค่าน้อยและเหมาะสมคือ 5 N และ 140.43 องศา ตามลำดับ

Santiti Boonsri. 2011. *Study Deformation of Head Stack Assembly ( HSA ) During De-Swage*

**Process.** Master of Engineering Thesis in Mechanical Engineering, Graduate School,  
Khon Kaen University

**Thesis Advisor:** Asst.Prof.Dr.Kiatfa Tangchaichit

## ABSTRACT

249582

A conventional hard disk drive assembly process, swaging process is used for attaching a suspension arm which has a read/write head at its tip, to an actuator arm. De-swaging is a process of disconnecting those components that have been joined by swaging. When a suspension has a defective read/write head, it is required to de-swage the suspension arm from the actuator arm and replace it with a new good suspension arm. During a de-waging process, the blade of a de-swage tool is made to slide on a surface for disconnecting an actuator arm and a suspension arm by applied force. Applied force and angle of the blade have an effect on deformation of the actuator arm. This thesis aims to study the deformation of an actuator arm during de-swaging process by using finite element analysis. The results showed that the optimum applied force and blade angle of a de-swage tool ,which result in minimum gram load, are 5 N and 140.43° respectively.

## กิตติกรรมประกาศ

ขอขอบพระคุณ ผู้ช่วยศาสตราจารย์ ดร.เกียรติพิชา ตั้งใจจิต อาจารย์ที่ปรึกษา  
วิทยานิพนธ์ ที่กรุณาให้ความรู้ คำแนะนำ คำปรึกษา พร้อมทั้งขอบอกสนับสนุนงานวิจัยและ  
วิทยานิพนธ์ทุกขั้นตอน จนกระทั่งวิทยานิพนธ์ฉบับนี้สำเร็จลุล่วงไปด้วยดี

ขอขอบพระคุณ คุณพ่อ คุณแม่ ญาติพี่น้องทุกท่าน ที่เคยให้กำลังใจในการทำวิจัย และ  
การทำวิทยานิพนธ์ตลอดมา

ขอขอบพระคุณ คณาจารย์ภาควิชาวิศวกรรมเครื่องกล มหาวิทยาลัยขอนแก่นทุกท่าน ที่  
ประสิทธิประสาทวิชาแก่ผู้เขียนพร้อมให้คำชี้แนะ คำแนะนำ ในการดำเนินงานวิจัยและการทำ  
วิทยานิพนธ์

ขอขอบคุณ คุณเสถียรธรรม ฉุจวิภัตสกุล ที่กรุณาช่วยให้ความรู้ คำแนะนำ คำปรึกษา  
จนกระทั่งวิทยานิพนธ์ฉบับนี้สำเร็จลุล่วงไปด้วยดี

ขอขอบคุณ คุณปริชา ลีลานุกรรน ผู้จัดการอาชูโส แผนกพัฒนาทรัพยากรบุคคล  
คุณเกิด ไก เทียนทอง วิศวกรอาชูโสระดับ 2 บริษัทเวลท์เกิร์นดิจิตอล (ประเทศไทย) จำกัด ที่ให้การ  
สนับสนุนด้านข้อมูล พร้อมให้คำปรึกษาด้านการทำงานวิจัย และช่วยเหลือตลอดระยะเวลาในการ  
เก็บข้อมูลที่บริษัทเวลท์เกิร์นดิจิตอล (ประเทศไทย) จำกัด

ขอขอบคุณศูนย์เทคโนโลยีอิเล็กทรอนิกส์และคอมพิวเตอร์แห่งชาติ (Thai : National  
Electronics and Computer Technology Center) และศูนย์วิจัยร่วมเฉพาะทางด้านส่วนประกอบ  
ชาร์ดดิสก์ไดรฟ์ (I/UCRC in HDD Component) คณะวิศวกรรมศาสตร์ มหาวิทยาลัยขอนแก่น ที่ให้  
ความอนุเคราะห์และสนับสนุนทุนการศึกษาและทุนวิจัย

ขอขอบคุณ เพื่อนักศึกษาระดับปริญญาโททุกท่าน ที่มีส่วนช่วยเหลือในการทำ  
วิทยานิพนธ์ มิตรภาพดีๆ และความทรงจำที่ดีที่มีให้กัน

สันติ บุญศรี

## สารบัญ

	หน้า
บทคัดย่อภาษาไทย	ก
บทคัดย่อภาษาอังกฤษ	ข
กิตติกรรมประกาศ	ค
สารบัญตาราง	ฉ
สารบัญภาพ	ช
<b>บทที่ 1 บทนำ</b>	<b>1</b>
1.1 ความสำคัญ และที่มาของปัญหาที่ทำการวิจัย	1
1.2 วัตถุประสงค์ของงานวิจัย	2
1.3 ขอบเขตงานวิจัย	2
1.4 ขั้นตอนการดำเนินงาน	3
1.5 ประโยชน์ของงานวิจัย	3
<b>บทที่ 2 วรรณกรรมและงานวิจัยที่เกี่ยวข้อง</b>	<b>4</b>
2.1 บทนำ	4
2.2 โครงสร้างสารคดิสก์ไดร์ฟ	4
2.3 ระเบียบวิธีไฟไนต์ເອລີມເນຕໍ	12
2.4 ทบทวนวรรณกรรม	13
<b>บทที่ 3 กระบวนการประกอบสเวจ กระบวนการดีสเวจ และทฤษฎี</b>	<b>16</b>
3.1 บทนำ	16
3.2 กระบวนการสเวจ	16
3.3 กระบวนการดีสเวจ	19
3.4 ทฤษฎี	21
<b>บทที่ 4 วิธีการดำเนินการวิจัย</b>	<b>35</b>
4.1 การวัดค่าแรงกรัมໂໂຫດ	35
4.2 การออกแบบการทดลอง	37
4.3 ระเบียบวิธีทางไฟไนต์ເອລີມເນຕໍ	38
4.4 ขั้นตอนของกระบวนการขั้นต้น	39

## สารบัญ (ต่อ)

	หน้า
4.5 ขั้นตอนการวิเคราะห์แก้ปัญหา	48
4.6 ขั้นตอนของกระบวนการขั้นท้าย	50
<b>บทที่ 5 ผลการศึกษา</b>	<b>51</b>
<b>บทที่ 6 สรุปผลการศึกษา และข้อเสนอแนะ</b>	<b>63</b>
6.1 ขนาดออลิเมนต์ของแบบແອຄຖູເອເຕວຣ໌ ແລະແພ່ນຮານ	63
6.2 ขนาดແຮງກດບນໃນມີດ	63
6.3 ขนาดນຸ້ມໃນມີດຂອງອຸປ່ຽນດີສເວຈ	64
6.4 ขนาดແຮງກດບນໃນມີດແລະขนาดນຸ້ມໃນມີດຂອງອຸປ່ຽນດີສເວຈ	64
6.5 ข้อเสนอแนะ	65
ເອກສາර້ອ້າງອີງ	66
<b>ภาคผนวก</b>	<b>69</b>
ภาคผนวก ก ຄູຜສມບັດຂອງວັດຖຸທີ່ໃຊ້ສໍາຫຼັບແບບຈຳລອງໄຟໄຟໄຟເລີເມນຕໍ່	70
ภาคผนวก ข ພຸດທິກຣມກາເສີບຮູບປົງຂຶ້ນງານ ຈາກກະບວນກາຮີສເວຈ	73
ກາຮີເພຍແພວ່ພລງຈານວິທຍານິພນ໌	79
ປະວັດຜູ້ເຈີຍນ	80

## สารบัญตาราง

	หน้า
ตารางที่ 4.1 แสดงขนาดของอุปกรณ์ของแขนและขาต่อและแผ่นฐาน	37
ตารางที่ 4.2 แสดงการกำหนดค่าสัดส่วนและคุณสมบัติของแต่ละชิ้นส่วน	48
ตารางที่ 5.1 เปอร์เซ็นต์ความคลาดเคลื่อนของค่าแรงกรัมโดยลดในกระบวนการสร้างที่ขนาดของอุปกรณ์ต่างๆ	54
ตารางที่ 5.2 เปอร์เซ็นต์ความคลาดเคลื่อนของค่าแรงกรัมโดยลดในกระบวนการดีไซน์ที่ขนาดของอุปกรณ์ต่างๆ	56

## สารบัญภาพ

	หน้า
ภาพที่ 2.1 รูปร่างและลักษณะของสาร์คิดสก์ไคร์ฟ	4
ภาพที่ 2.2 รูปร่างลักษณะของแขนของหัวอ่าน	5
ภาพที่ 2.3 รูปร่างลักษณะของหัวอ่าน	6
ภาพที่ 2.4 รูปร่างลักษณะของแขนของผู้งานแม่เหล็ก	6
ภาพที่ 2.5 ส่วนประกอบของมอเตอร์หมุนงานแม่เหล็ก	7
ภาพที่ 2.6 รูปร่างลักษณะของแขนของขั้วต่อและจัมเปอร์	8
ภาพที่ 2.7 รูปร่างลักษณะของเกส	8
ภาพที่ 2.8 ส่วนประกอบของชิ้นส่วนหัวอ่านคอมพิวเตอร์	9
ภาพที่ 2.9 แสดงโครงสร้างการจัดเรียงและเก็บข้อมูลภายในสาร์คิดสก์ไคร์ฟ	11
ภาพที่ 2.10 การวิเคราะห์หาผลเฉลยบนแผ่นด้วยการใช้ระเบียนวิธีไฟในตัวอเลิมента	12
ภาพที่ 3.1 ส่วนประกอบ และลักษณะการยิงลูกบolaในกระบวนการสวเจดด้วยลูกบola	17
ภาพที่ 3.2 โครงสร้างของเครื่องสวเจ	18
ภาพที่ 3.3 อุปกรณ์ดีสวเจ	19
ภาพที่ 3.4 การกำหนดเงื่อนไขของเบตของอุปกรณ์ดีสวเจ	21
ภาพที่ 3.5 ตำแหน่งของใบมีดในระหว่างกระบวนการดีสวเจ	21
ภาพที่ 3.6 ใบมีดของอุปกรณ์ดีสวเจ	22
ภาพที่ 3.7 การแบ่งรูปร่างของปั๊มหาออกเป็นอเลิมентаแบบต่างๆ กัน	22
ภาพที่ 3.8 เอลิเมนต์สามเหลี่ยมแบบอย่างประกอบด้วยสามจุดต่อโดยมีตัวไม้รู้ค่าอยู่	23
ภาพที่ 3.9 การแบ่งลักษณะรูปร่างของปั๊มหาออกเป็นอเลิมента	25
ภาพที่ 3.10 การเปรียบเทียบผลเฉลยแม่นตรงกับผลเฉลยโดยประมาณซึ่งเกิดจากระเบียนวิธีถ่วงน้ำหนักเศษตกค้างแบบต่างๆ	30
ภาพที่ 3.11 พิงก์ชั่นน้ำหนักที่ใช้ในระเบียนวิธีถ่วงน้ำหนักเศษตกค้างแบบต่าง	31
ภาพที่ 3.12 เอลิเมนต์ทรงสี่เหลี่ยมในสามมิติ	32
ภาพที่ 3.13 การแปลงเอลิเมนต์ทั่วไปให้เป็นทรงลูกบาศก์	34

## สารบัญภาพ (ต่อ)

	หน้า
ภาพที่ 4.1 แสดงแรงกรัมໂ Holden	35
ภาพที่ 4.2 การวัดค่าแรงกรัมໂ Holden ในกระบวนการจริง	36
ภาพที่ 4.3 การวัดค่าแรงกรัมໂ Holden ในการทดลอง	36
ภาพที่ 4.4 ลักษณะรูปร่างของแผ่นฐาน	40
ภาพที่ 4.5 ลักษณะของแขนแอกทูเอเตอร์	40
ภาพที่ 4.6 ลักษณะชิ้นส่วนรองแขนแอกทูเอเตอร์ในแต่ละหัวอ่าน	40
ภาพที่ 4.7 ลูกบอลที่ใช้ในกระบวนการสร้าง ทั้ง 2 ลูก	41
ภาพที่ 4.8 ใบมีดของอุปกรณ์ดีสวเจ	41
ภาพที่ 4.9 แสดงอลิเมนต์แบบ Solid 164	42
ภาพที่ 4.10 แบบจำลอง 3 มิติหลังจากการแบ่งอลิเมนต์	43
ภาพที่ 4.11 ลักษณะการประกอบกันระหว่างแอกทูเอเตอร์กับแผ่นฐานในแต่ละแขน	44
ภาพที่ 4.12 การกำหนดเงื่อนไขของเขตของกระบวนการสร้าง	45
ภาพที่ 4.13 การกำหนดแรงกดใบมีดในกระบวนการดีสวเจ	46
ภาพที่ 4.14 การกำหนดเงื่อนไขของเขตของกระบวนการดีสวเจ	47
ภาพที่ 5.1 การเสียรูปของแขนแอกทูเอเตอร์ในกระบวนการดีสวเจของหัวอ่านที่ 0 และหัวอ่านที่ 2	51
ภาพที่ 5.2 การเสียรูปของแขนแอกทูเอเตอร์ในกระบวนการดีสวเจของหัวอ่านที่ 1 และหัวอ่านที่ 3	52
ภาพที่ 5.3 ค่าแรงกรัมໂ Holden ในกระบวนการสร้าง ที่ขนาดของอลิเมนต์ต่างๆ	53
ภาพที่ 5.4 ค่าแรงกรัมໂ Holden ในกระบวนการดีสวเจ ที่ขนาดของอลิเมนต์ต่างๆ	55
ภาพที่ 5.5 ค่าแรงกรัมໂ Holden โดยมุมใบมีด 140.43 องศา ที่ขนาดของแรงต่างๆ	58
ภาพที่ 5.6 ค่าแรงกรัมໂ Holden โดยใช้แรง 5 N ที่ขนาดของมุมใบมีดต่างๆ	59
ภาพที่ 5.7 ค่าแรงกรัมໂ Holden ของหัวอ่านที่ 0 ที่ใช้มุมใบมีดและขนาดของแรงต่างๆ	60
ภาพที่ 5.8 ค่าแรงกรัมໂ Holden ของหัวอ่านที่ 1 ที่ใช้มุมใบมีดและขนาดของแรงต่างๆ	61
ภาพที่ 5.9 ค่าแรงกรัมໂ Holden ของหัวอ่านที่ 2 ที่ใช้มุมใบมีดและขนาดของแรงต่างๆ	61
ภาพที่ 5.10 ค่าแรงกรัมໂ Holden ของหัวอ่านที่ 3 ที่ใช้มุมใบมีดและขนาดของแรงต่างๆ	62

## สารบัญภาพ (ต่อ)

ภาพที่ ก 1	คุณสมบัติของวัสดุที่ใช้สำหรับแบบจำลองไฟในต์ออลิเมนต์ของแผ่นฐาน และชิ้นส่วนรองแบบขึ้นแต่ละหัวอ่อน	71
ภาพที่ ก 2	คุณสมบัติของวัสดุที่ใช้สำหรับแบบจำลองไฟในต์ออลิเมนต์ของแบบแยกท่อ เตอร์	72
ภาพที่ ข 1	พฤติกรรมการเกิดความเคลื่อน จากระบวนการดีสวเจ	75
ภาพที่ ข 2	พฤติกรรมการเกิดความเครียด จากระบวนการดีสวเจ	77